

LUIS MAZORRA MANRIQUE DE LARA

## UN CRITERIO DE ENERGÍA PARA APROXIMAR LA SOLUCIÓN DE LA ECUACIÓN DEL CALOR. APLICACIÓN AL FILTRADO DE IMÁGENES.

### INTRODUCCIÓN

Una herramienta fundamental en el tratamiento de imágenes es la convolución con núcleos gaussianos. Koenderink [1984] constató que dicha convolución es equivalente a la resolución de la ecuación del calor dada por:

$$\begin{aligned} u_t &= u_{xx} + u_{yy} && \text{en } \mathbb{R}^2 \times \mathbb{R}^+ \\ u(x,y,0) &= u_0(x,y) && \text{en } \mathbb{R}^2 \end{aligned} \quad (0.1)$$

donde  $u_0(\dots)$  representa la imagen inicial,  $u(x,y,t)$  la imagen convolucionada con una función gaussiana cuya desviación típica  $\sigma$  verifica  $t = \sigma^2/2$ . Por otro lado es bien conocido que en este caso la convolución en 2 dimensiones coincide con la composición de dos convoluciones unidimensionales siguiendo las direcciones de los ejes, por tanto vamos a reducir el estudio al caso unidimensional.

### 1 APROXIMACIÓN DE FILTROS GAUSSIANOS

Sea  $G_\sigma(x)$  el filtro gaussiano:

$$G_\sigma(x) = \frac{e^{-x^2/2\sigma^2}}{\sigma\sqrt{2\pi}} \quad (1.1)$$

Sabemos que la convolución de una función  $f(x)$  con un filtro gaussiano, es equivalente, a resolver la ecuación del calor  $u_t - u_{xx} = 0$ , con el dato inicial  $u(x,0) = f(x)$ , si hacemos  $t = \sigma^2/2$ , entonces  $u(x,t) = G_\sigma * f(x)$ . Así, una aproximación de la ecuación del calor es una aproximación de filtros gaussianos. Vamos, ahora, a discretizar la ecuación usando el esquema incondicionalmente estable más simple. Sean  $h > 0$  y  $k > 0$  los incrementos espacial y temporal respectivamente, y  $u_i^n = u(ih, nk)$ . Usamos la discretización siguiente:

$$\frac{u_i^{n+1} - u_i^n}{k} - \frac{u_{i+1}^{n+1} + u_{i-1}^{n+1} - 2u_i^{n+1}}{h^2} = 0 \quad (1.2)$$

Sea  $\lambda = k/h^2$ . Entonces tenemos:

$$(1+2\lambda) u_i^{n+1} - \lambda u_{i+1}^{n+1} - \lambda u_{i-1}^{n+1} = u_i^n \text{ para todo } i \text{ entero y } n \in \mathbb{N}$$

Además podemos interpretar la señal  $u^{n+1}$  como la convolución de la  $u^n$  con un filtro definido por la función de transferencia:

$$(6) \quad m_\lambda(w) = \frac{1}{1+2\lambda-2\lambda\cos(wh)} \quad (1.3)$$

Como  $|m_\lambda(w)| \leq 1$  y  $\lambda > 0$  y  $w \in \mathbb{R}$ , el esquema es estable Sod [1985] para todo  $k > 0$  y  $h > 0$ . Ahora vamos a ver resultados interesantes acerca de (1.3).

**Lema.** Sean  $h, k > 0$ ,  $\lambda = k/h^2$  y sea  $m_\lambda(w)$  definido por (6), entonces tenemos:

$$m_\lambda(w) = \frac{\nu/\lambda}{(1-\nu e^{iwh})(1-\nu e^{-iwh})} \quad (1.4)$$

$$m_\lambda(w) = (1+4\lambda)^{-1/2} \sum_{m=-\infty}^{m=\infty} \nu^{|m|} e^{iwhm} \quad (1.5)$$

$$\int_{-\pi}^{\pi} m_\lambda(w) dw = \frac{2\pi\nu^n}{h\lambda^n(1-\nu^2)^{2n}} \sum_{m=0}^{n-1} \binom{n+m-1}{m} \binom{n-1}{m} \nu^{2m}(1-\nu^2)^{n-m}$$

$$\text{donde } \nu = \frac{1+2\lambda-\sqrt{1+4\lambda}}{2\lambda} \quad (1.6)$$

**Demostración.** (1.4) y (1.5) se consiguen con cálculos sencillos en la definición de  $m_\lambda(w)$ . La igualdad (1.6) se obtiene a partir de una integral compleja en el círculo unidad, realizando el cambio  $z = e^{iwh}$ .

Hay que significar, según (1.4), que  $m_\lambda(w)$  es una combinación de un filtro causal y uno anticausal. Además podemos descomponer el cálculo de  $u^{n+1}$  en los siguientes pasos:

- |       |   |                      |
|-------|---|----------------------|
| (i)   | $u_i^{n+1/3} = u_i^n + \nu u_{i-1}^{n+1/3}$       | para todo $i$ entero |
| (ii)  | $u_i^{n+2/3} = u_i^{n+1/3} + \nu u_{i+1}^{n+2/3}$ | para todo $i$ entero |
| (iii) | $u_i^{n+1} = (\nu/\lambda) u_i^{n+2/3}$           | para todo $i$ entero |

y así, tenemos que el cálculo de  $u_i^{n+1}$  sólo necesita 3 multiplicaciones y 2 sumas para cada  $i$  entero. Además, en muchas aplicaciones podemos obviar el paso (iii), ya que sólo es un proceso de normalización.

Según (1.5), podemos interpretar  $u^{n+1}$  como la convolución de  $u^n$  con el filtro  $h_\lambda(i)$ , definido por:

$$h_\lambda(i) = (1+4\lambda)^{-1/2} \nu^{|i|} \quad \text{para todo } i \text{ entero}$$

puesto que  $\nu \rightarrow 1$  cuando  $\lambda \rightarrow +\infty$ , el dominio efectivo de este filtro se vuelve infinito, sin embargo, el número de operaciones para calcular  $u^{n+1}$  permanece fijo independiente de  $\lambda$ .

En términos de frecuencia, podemos interpretar la solución de la ecuación de calor,  $u(x,t)$ , como la convolución del dato inicial  $f(x)$  con un filtro gaussiano que tiene la función de transferencia  $m(w) = e^{-tw^2}$ , cuando discretizamos la señal  $f(x)$  y el filtro gaussiano  $G_\sigma(x)$  con un incremento espacial  $h$ , el filtro  $m(w)$  se convierte en una función  $2\pi/h$  periódica definida por:

$$m(w,h) = \sum_{m=-\infty}^{+\infty} e^{-t(w+2\pi m/h)^2} \quad \text{para todo } t > 0 \quad (1.7)$$

(mírese Gasquet & Witomski [1990]). Por otra parte,  $u_i^n$  es una aproximación de  $u(ih, nt)$  y puede interpretarse como la convolución de la señal inicial  $u_i$  con el filtro definido por la función de transferencia  $m_\lambda^n(w)$ . Además  $m_\lambda^n(w)$  es una aproximación de  $m(w,h)$ . Desde un punto de vista teórico,  $\lambda$  debe hacerse pequeño para que  $u_i^n$  se acercara a la solución continua  $u$ . Sin embargo, si hacemos  $t$  "grande", necesitaríamos muchas iteraciones para aproximarnos a  $u(i,t)$ , y entonces el esfuerzo computacional aumentaría rápidamente. Así, desde un punto de vista práctico, necesitamos tomar  $\lambda$  grande para reducir dicho esfuerzo computacional. Pero, si  $h$  es bastante pequeño y  $t$  bastante grande, el dominio de la función  $m(w) = e^{-tw^2}$  estaría incluido en el intervalo  $[-2\pi/h, 2\pi/h]$ , y en él,  $m(w,h) = m(w)$ . Hay que hacer constar, que  $m_\lambda(w)$  y  $m_\lambda^n(w)$  son no negativas,  $2\pi/h$  periódicas, decrecientes en el intervalo  $[0, \pi/h]$  y verifican que  $m_\lambda(0) = m_\lambda^n(0) = 1$ . Como  $m_\lambda^n(w)$  decrece más rápido que  $m_\lambda(w)$ , de este modo aproxima mejor la función  $m(w)$ . La relación teórica entre  $\lambda, n$  y  $t$ , viene dada por:

$$h^2 \lambda n = t. \quad (1.8)$$

Pero como, mostraremos en las experiencias numéricas, en este caso  $m_\lambda^n(w)$  converge lentamente a  $m(w)$  cuando  $n$  tiende a infinito. Para acelerar la convergencia, usamos un criterio diferente para escoger  $\lambda$  y  $n$ . Usamos como criterio que  $m(w)$  y  $m_\lambda^n(w)$  tengan la misma energía:

$$F(\lambda, n) = \int_{-\pi/h}^{+\pi/h} m_\lambda^{2n}(w) dw = \int_{-\pi/h}^{+\pi/h} m^2(w) dw \equiv (\pi/2t)^{1/2} \quad (1.9)$$

Como quiera que,  $F(\lambda, n)$  es continuamente decreciente respecto de  $\lambda$ , satisface:

$$F(0, n) = 2\pi/h \quad \text{y} \quad \lim_{\lambda \rightarrow +\infty} F(\lambda, n) = 0, \text{ si } \lambda \rightarrow +\infty$$

Así, si  $2\pi/h > (\pi/2t)^{1/2}$ , tenemos que para todo  $n \in \mathbb{N}$ , existe un único  $\lambda > 0$  tal que  $F(\lambda, n) = (\pi/2t)^{1/2}$ . Y, podemos hacer esta relación explícita, usando (1.7). Por ejemplo, para fijar ideas, si tomamos  $n=1$ , tenemos la relación siguiente:

$$(2\pi/h)(1+2\lambda)(1+4\lambda)^{-3/2} = (\pi/2t)^{1/2}$$

Como mostramos en los resultados numéricos (ver figura), el criterio (1.9) es más eficiente que el (1.8) para aproximar  $m(w)$ .

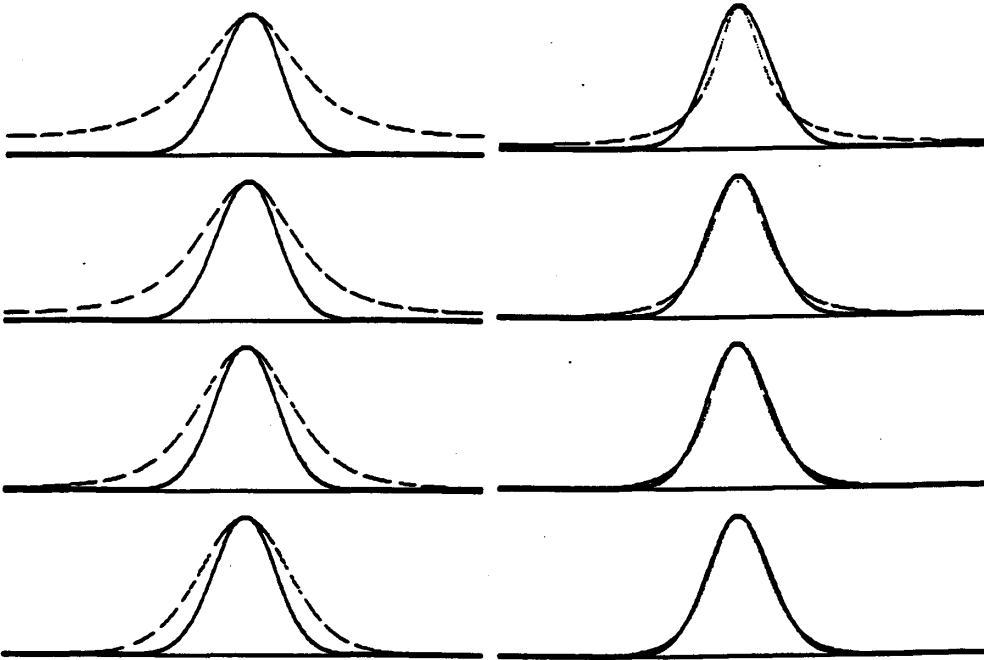


Figura.- Aproximación gaussiana. Representamos una aproximación al filtro  $m(w)=e^{-3w^2}$ , usando iteraciones de  $m_n(w)$  (la línea continua corresponde a  $m(w)$  y la discontinua corresponde a las iteraciones de  $m_n(w)$ ). En izquierda, mostramos la aproximación clásica, usando (1.8). Y en la derecha, usamos el criterio de conservación de la energía (1.9).

**Nota 1.** La estructura recursiva reduce, drásticamente, el esfuerzo computacional requerido para la implementación de los filtros. Las operaciones necesarias son, un número fijo de multiplicaciones y sumas por punto, independientemente del tamaño de ventana considerado. (mírese, por ejemplo, Shen y Castan [1986] y Deriche [1990]).

## REFERENCIAS

- L. ALVAREZ AND L. MAZORRA, *Signal and Image Restoration by using shock filters and anisotropic diffusion*, SIAM on Numerical Analysis, January, 1994.
- L. ALVAREZ, P.L.LIONS AND J.M.MOREL, *Image selective smoothing and edge detection by nonlinear diffusion (II)*, SIAM on Numerical Analysis, 29, N°3, pp. 845-866, 1992.
- L.ALVAREZ, F. GUICHARD, P.L.LIONS AND J.M.MOREL, *Axiomatic and fundamental equations of image processing*, Arch.Rational.Mechanics, 123, 3, pp 199-257, 1993
- F.CATTE, T.COLL, P.L.LIONS AND J.M.MOREL, *Image selective smoothing and edge detection by nonlinear diffusion*, SIAM on Numerical Analysis, 29, pp. 182-193, 1992.
- R.DERICHE, *Fast algorithms for low-level Vision*, IEEE trans. on pattern analysis and machine intelligence, 12, N°1, pp. 78- 87, 1990.
- C.GASQUET AND P.WITOMSKI. *Analyse de Fourier et applications*, Ed. Masson, 1990.
- M.KASS AND A.WITKIN, *Analyzing oriented patterns*, Comput. Vision Graphics Image Process. 37, pp. 362-385, 1987.
- D.MARR, *Vision*, Freeman and Co. 1982.
- J.J.KOENDERINK, *The structure of images*. Biol. Cybern. 50, pp. 363-370, 1984.
- S.OSHER AND L.RUDIN, *Feature-oriented image enhancement using shock filters*, SIAM on Numerical Analysis, 27, pp. 919-940, 1990.
- S.OSHER AND J.SETHIAN, *Fronts propagating with curvature dependent speed: algorithms based on the hamilton-Jacobi formulation*, J. Comp. Physics, 79, 12-49, 1988.
- P.PERONA AND J.MALIK, *Scale space and edge detection for visual scene analysis*, Proc. IEEE Computer Soc. Workshop on Computer Vision, 1987.
- A.RAVISHANKAR AND B.G.SCHUNCK, *Computing Oriented Texture Fields*,

---

CVGIP: Graphical models and image processing. 53 N° 2, pp. 157-185, 1991.

L.RUDIN, *Images, numerical analysis of singularities, and shock filters*, Ph.D. thesis, Computer Science Dept., Caltech, Pasadena, CA, #5250:TR:87; 1987.

J.SHEN AND S.CASTAN, *An optimal linear operator for edge detection*, in Proc. CVPR, Miami, FL, June 1986, pp. 109-114

G.A..SOD, *Numerical methods in fluid dynamics*, Cambridge University Press, 1985.

LUIS MAZORRA MANRIQUE DE LARA  
Departamento de Informática y Sistemas.  
Universidad de Las Palmas.  
Campus de Tafira.  
35017 Las Palmas.